

Starkniederschlagshöhen und -spenden gemäß KOSTRA-DWD-2010R

Auswertungszeitraum von 1951 - 2010, Januar - Dezember

Rasterfeld: 54018

Zeile: 54

Spalte: 18

Seite: 1/2

| Dauerstufe D | | Wiederkehrzeit T | | | | | | | | | | | | | | | | | |
|--------------|-----|------------------|------------|------|------------|------|------------|------|------------|------|------------|-------|------------|-------|------------|-------|------------|-------|------------|
| | | 1 a | | 2 a | | 3 a | | 5 a | | 10 a | | 20 a | | 30 a | | 50 a | | 100 a | |
| min | Std | mm | l / (s ha) | mm | l / (s ha) | mm | l / (s ha) | mm | l / (s ha) | mm | l / (s ha) | mm | l / (s ha) | mm | l / (s ha) | mm | l / (s ha) | mm | l / (s ha) |
| 5 | | 4,7 | 156,7 | 6,2 | 206,7 | 7,1 | 236,7 | 8,3 | 276,7 | 9,9 | 330,0 | 11,4 | 380,0 | 12,3 | 410,0 | 13,5 | 450,0 | 15,1 | 503,3 |
| 10 | | 7,5 | 125,0 | 9,7 | 161,7 | 10,9 | 181,7 | 12,5 | 208,3 | 14,7 | 245,0 | 16,8 | 280,0 | 18,1 | 301,7 | 19,7 | 328,3 | 21,8 | 363,3 |
| 15 | | 9,5 | 105,6 | 12,1 | 134,4 | 13,6 | 151,1 | 15,5 | 172,2 | 18,1 | 201,1 | 20,7 | 230,0 | 22,2 | 246,7 | 24,1 | 267,8 | 26,7 | 296,7 |
| 20 | | 10,9 | 90,8 | 13,9 | 115,8 | 15,6 | 130,0 | 17,8 | 148,3 | 20,7 | 172,5 | 23,7 | 197,5 | 25,4 | 211,7 | 27,6 | 230,0 | 30,5 | 254,2 |
| 30 | | 12,8 | 71,1 | 16,4 | 91,1 | 18,5 | 102,8 | 21,1 | 117,2 | 24,7 | 137,2 | 28,2 | 156,7 | 30,3 | 168,3 | 32,9 | 182,8 | 36,5 | 202,8 |
| 45 | | 14,6 | 54,1 | 18,8 | 69,6 | 21,3 | 78,9 | 24,5 | 90,7 | 28,8 | 106,7 | 33,0 | 122,2 | 35,5 | 131,5 | 38,7 | 143,3 | 43,0 | 159,3 |
| 60 | | 15,6 | 43,3 | 20,5 | 56,9 | 23,3 | 64,7 | 26,9 | 74,7 | 31,8 | 88,3 | 36,7 | 101,9 | 39,5 | 109,7 | 43,1 | 119,7 | 48,0 | 133,3 |
| 90 | | 17,7 | 32,8 | 22,9 | 42,4 | 25,9 | 48,0 | 29,6 | 54,8 | 34,8 | 64,4 | 39,9 | 73,9 | 42,9 | 79,4 | 46,7 | 86,5 | 51,8 | 95,9 |
| 120 | 2 | 19,4 | 26,9 | 24,7 | 34,3 | 27,8 | 38,6 | 31,8 | 44,2 | 37,1 | 51,5 | 42,4 | 58,9 | 45,5 | 63,2 | 49,5 | 68,8 | 54,8 | 76,1 |
| 180 | 3 | 22,0 | 20,4 | 27,6 | 25,6 | 30,9 | 28,6 | 35,1 | 32,5 | 40,7 | 37,7 | 46,3 | 42,9 | 49,6 | 45,9 | 53,7 | 49,7 | 59,3 | 54,9 |
| 240 | 4 | 24,1 | 16,7 | 29,9 | 20,8 | 33,3 | 23,1 | 37,6 | 26,1 | 43,4 | 30,1 | 49,3 | 34,2 | 52,7 | 36,6 | 57,0 | 39,6 | 62,8 | 43,6 |
| 360 | 6 | 27,3 | 12,6 | 33,5 | 15,5 | 37,1 | 17,2 | 41,6 | 19,3 | 47,7 | 22,1 | 53,9 | 25,0 | 57,5 | 26,6 | 62,0 | 28,7 | 68,2 | 31,6 |
| 540 | 9 | 31,0 | 9,6 | 37,5 | 11,6 | 41,3 | 12,7 | 46,1 | 14,2 | 52,5 | 16,2 | 59,0 | 18,2 | 62,8 | 19,4 | 67,6 | 20,9 | 74,0 | 22,8 |
| 720 | 12 | 34,0 | 7,9 | 40,7 | 9,4 | 44,6 | 10,3 | 49,6 | 11,5 | 56,3 | 13,0 | 63,0 | 14,6 | 66,9 | 15,5 | 71,9 | 16,6 | 78,6 | 18,2 |
| 1080 | 18 | 38,6 | 6,0 | 45,6 | 7,0 | 49,8 | 7,7 | 55,0 | 8,5 | 62,1 | 9,6 | 69,2 | 10,7 | 73,3 | 11,3 | 78,5 | 12,1 | 85,6 | 13,2 |
| 1440 | 24 | 42,2 | 4,9 | 49,5 | 5,7 | 53,8 | 6,2 | 59,3 | 6,9 | 66,6 | 7,7 | 73,9 | 8,6 | 78,2 | 9,1 | 83,7 | 9,7 | 91,0 | 10,5 |
| 2880 | 48 | 54,4 | 3,1 | 62,9 | 3,6 | 67,9 | 3,9 | 74,1 | 4,3 | 82,6 | 4,8 | 91,1 | 5,3 | 96,1 | 5,6 | 102,3 | 5,9 | 110,8 | 6,4 |
| 4320 | 72 | 63,2 | 2,4 | 72,4 | 2,8 | 77,7 | 3,0 | 84,4 | 3,3 | 93,6 | 3,6 | 102,8 | 4,0 | 108,1 | 4,2 | 114,8 | 4,4 | 124,0 | 4,8 |

Angaben in mm: Bemessungsniederschlagswerte h(n)

Angaben in l / (s ha): Regenspende R(n) mit $R(n) = h(n) \times 1,666667 / D[\text{min}]$

Toleranzbereiche:

+/- 10 % für $1 \text{ a} \leq T \leq 5 \text{ a}$

+/- 15 % für $5 \text{ a} < T \leq 50 \text{ a}$

+/- 20 % für $50 \text{ a} < T \leq 100 \text{ a}$

Datenbasis: KOSTRA-DWD-2010R des Deutschen Wetterdienstes. Die Regenspende wurde auf Basis des Bemessungsniederschlags zur jeweiligen Andauer berechnet.

Für die Richtigkeit und Aktualität der Angaben wird keine Gewähr übernommen. Erstellt 07/2022.

Starkniederschlagshöhen und -spenden gemäß KOSTRA-DWD-2010R

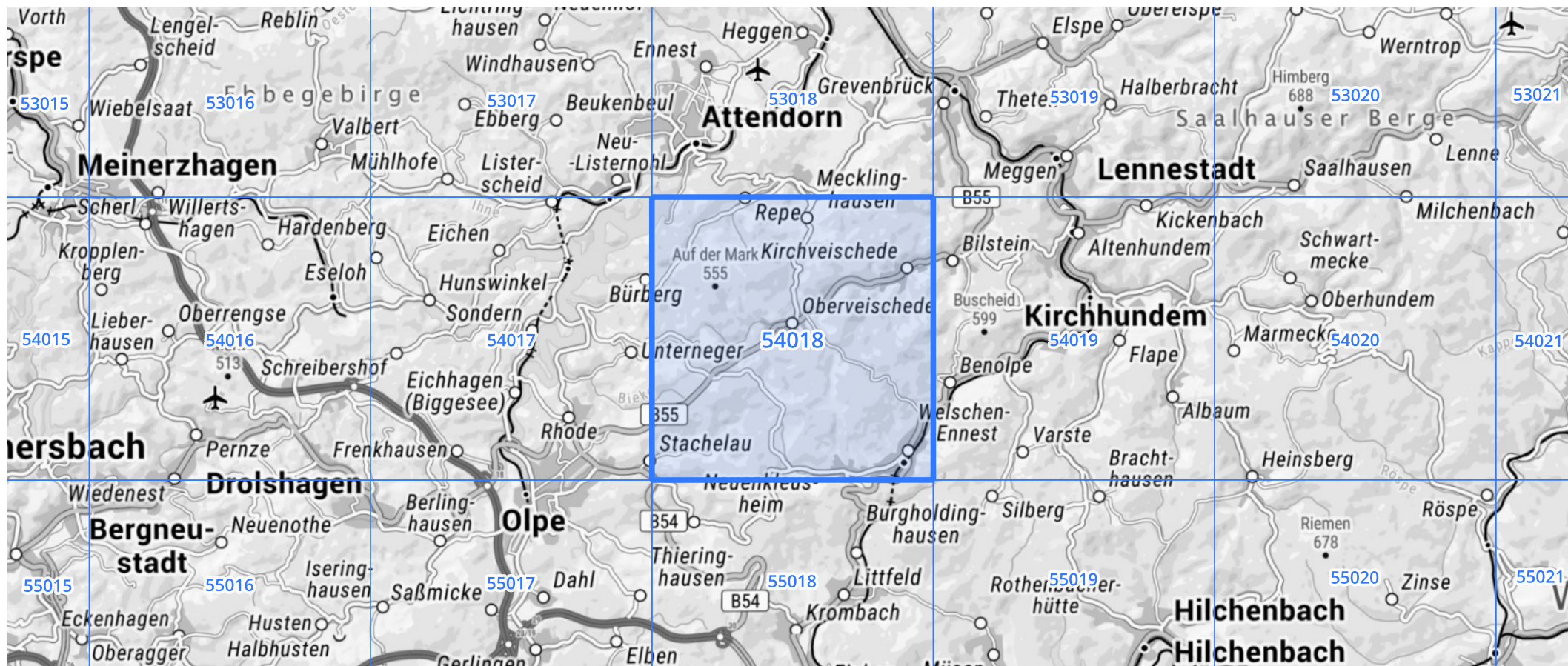
Auswertungszeitraum von 1951 - 2010, Januar - Dezember

Rasterfeld: 54018

Zeile: 54

Spalte: 18

Seite: 2/2



Quelle Rasterdaten: KOSTRA-DWD-2010R des Deutschen Wetterdienstes.

Kartendarstellung: © Bundesamt für Kartographie und Geodäsie (2022), Datenquellen: https://sgx.geodatenzentrum.de/web_public/gdz/datenquellen/Datenquellen_TopPlusOpen.html

Für die Richtigkeit und Aktualität der Angaben wird keine Gewähr übernommen. Erstellt 07/2022.